

## 航空用 알루미늄合金의 強度에 미치는 應力腐蝕의 影響

최 필승, 임우조, 이종락

부산수산대학교

### The Effect of Stress Corrosion on the Strength of Al-Alloy used for Aircraft

P. S. CHOE, U. J. LIM, J. R. LEE

National Fisheries University of Pusan

In this study, the Al-7075 alloy was tested by stress corrosion tester which is constant displacement in seawater ( $\rho = 25\Omega\text{cm}$ ) and investigated corrosion current density and stress corrosion index under impressed voltage.

The main results obtained are as the following:

- 1) Corrosion current density in the load stress become higher compared with no load. Fine stress corrosion cracking and pit occurred in the load stress, but in the no load pit only.
- 2) Corrosion current density decreases and also stress corrosion cracking is delayed with increase of bared surface area of anode.
- 3) Stress corrosion index ( $1-\alpha$ ) for specimens by stress corrosion cracking growth become smaller with increase of stress and decrease of bared surface area of anode.

#### 1. 序論

最近 工業의 發展과 더불어 機械構造物 等은 더 옥 輕量化, 高強度化 및 高速化되고 있으며 이들 機械構造物들이 사용되는 環境 또한 급속히 多樣化, 奇酷化하고 있는 趨勢에 있다.<sup>1)</sup>

금속材料의 環境強度를 좌우하는 破損은 넓은 의미에서는 순수한 電氣化學的 作用에 의해서만 진행하는 腐蝕 및 電氣化學的 作用과 機械的 作用이 서로 相昇作用하는 應力腐蝕의 2종으로 나눌 수 있다.<sup>2)</sup>

그러나 실제 機械나 金屬構造物에는 항상 殘留應力を 비롯한 여러가지 形태의 應力이 作用하고 있으므로 후자, 즉 特定한 腐蝕環境中에 있는 金屬은

항복점 이하의 비교적 낮은 靜的 應力を 받고 있어도 龜裂이 일어날 수 있는 應力腐蝕龜裂(Stress Corrosion Cracking, SCC)에 의해 그 破損이 진행되는 경우가 많다.<sup>3)</sup>

한편 알루미늄 合金材는 輕量性, 耐蝕性 및 加工性이 우수하며 또한 低溫에서도 機械的 性質의 低下가 일어나지 않는다.<sup>4, 5)</sup> 이러한 特性으로 인하여 車輛, 特殊船舶 및 航空機 等에 널리 이용되고, 특히 이 合金은 輕量性 때문에 航空機 部材로 많이 사용되고 있다.<sup>6, 7)</sup>

그러나 바다에서 離, 着陸하는 水上航空機, 運航하는 路線이 高溫多濕한 地域, 大洋을 飛行하는 航空機 및 空港이 海岸에 인접해 있는 경우의 航空機는 大氣中의 水分 및 鹽海로 인해 應力腐蝕을 받을

수 있으며, 東南아시아, 오스트레일리아 및 마이애비 等의 海岸地域에 路線을 가진 航空會社에서 腐蝕問題의 報告가 많이 되고 있다.<sup>8, 9)</sup>

이와 같은 應力腐蝕龜裂에 대해서는 지금까지 각 종 材料와 여러가지 環境中에서 많은 研究가 이루어져 왔으나,<sup>10, 12)</sup> 알루미늄 合金材에 대해 陽極電流通電에 의한 應力腐蝕龜裂에 미치는 應力의 크기 및 陽極露出面積에 대해서는 충분히 규명된 연구보고는 거의 찾아볼 수 없다.

따라서 本研究에서는 航空用 高力알루미늄 合金材(Al 7075)의 材料強度에 미치는 應力腐蝕의 影響에 대해 研究를 하기 위한 目的으로서 天然海水中에서 印加電壓에 의한 陽極電流通電下에 應力腐蝕實驗을 하였다. 이 實驗의 結果를 토대로 하여 應力腐蝕龜裂에 미치는 負荷應力의 크기 및 試驗片 노치先端의 露出面積(陽極面積)의 變化에 따른 腐蝕電流密度에 미치는 影響을 考察하고, 이들 條件에서 應力腐蝕으로 인한 材料強度低下를 나타내는 應力腐蝕指數를 구하였다.

## 2. 試驗片 및 試驗方法

### 2-1. 試驗片

本 實驗에 사용된 試驗片 材料는 두께 4.5mm인 航空用 7075 알루미늄 合金材로서 그 化學的 成分과 機械的 特性을 Table 1에 보인다.

이와 같은 환경로부터 전취하여製作한 試驗片 및 노치(notch)의 形狀은 Fig. 1과 같다. 이와 같은 試

Table 1. Chemical composition & mechanical properties of used material (Al 7075-T7351)

Chemical composition (wt %)	Cu	Mg	Mn	Fe	Si	Zn	Cr	Ti	Al
	5.6	2.5	1.6	0.23	0.5	0.4	0.3	0.2	Res
Mechanical properties	Tensile strength (kgf/mm <sup>2</sup> )			Yield strength (kgf/mm <sup>2</sup> )			Elongation (%)		
	51			44			14.5		

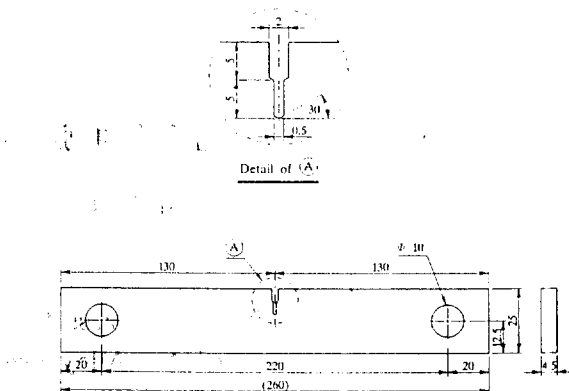


Fig. 1 Dimension of test specimen (unit : mm)

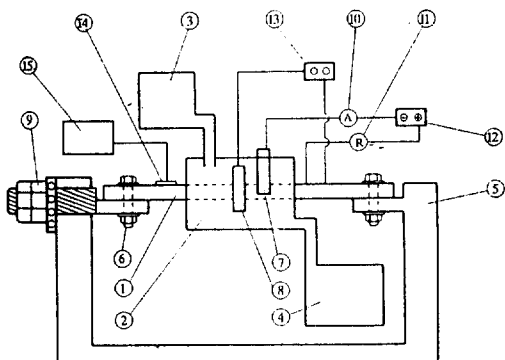
驗片은 그 길이 方向이 압연方向과 동일하도록 製作하였다.

한편 試驗片의 表面은 사포 600~2000번까지 연마한 후 아세톤으로 털지하고, 試驗片 表面의 電氣化學的 影響을 제거하기 위하여 노치先端의 재외한 試驗片 全 表面을 투명한 실리콘 수지로 피복하여 절연시켰다.

### 2-2. 試驗裝置

本 實驗에 사용한 應力腐蝕龜裂에 實驗裝置의 全體系統圖는 Fig. 2와 같다. Fig. 2의 引張試驗機은 變位一定形式의 것으로서 자작하였고, 試驗片은 동시에 2개를 裝置할 수 있도록 製作하였다. 그리고 각 試驗片간의 電氣化學的 간섭현상을 방지하기 위하여 실리콘 수지 및 고무판으로 試驗片을 서로 절연하였다.

試驗片에 負荷한 應力은 變形測定器(digital strain indicator)에 의해 測定하였으며, 應力腐蝕試驗은 외부에서 直流電源을 印加하여 試驗片에 陽極電流通電에 의한 應力腐蝕龜裂 촉진법을 적용하였다. 試驗片은 腐蝕溶液中에 침적하여 露出面積을 陽極으로 하고, 船舶用 5086 알루미늄 合金材를 對電極 즉, 陰極으로 해서 定電壓裝置로 印加電壓을 부가 할 수 있도록 Fig. 2와 같이 配線하였다.



1. Specimen  
2. Corrosion cell  
3. Feed water tank  
4. Drain water tank  
5. Bed  
6. Adjust bolt  
7. Counter electrode  
8. Reference electrode  
9. Loading bolt  
10. Ampere meter  
11. Rheostats  
12. Electric power source  
13. Potentiometer  
14. Strain gauge  
15. Digital strain indicator

Fig. 2 Schematic diagram of test apparatus

本實驗에 對電極으로 사용된 두께  $4.5\text{mm}$ 인 5086 알루미늄合金材의 그化學的成分과 機械的特性를 Table 2에 나타내었다.

Table 2. Chemical composition & mechanical properties of used material (Al 5086)

Chemical composition (wt %)	Cu	Mg	Mn	Fe	Si	Zn	Cr	Al
	0.047	4.07	0.48	0.375	0.19	0.07	0.11	Res
Mechanical Properties	Tensile strength ( $\text{kgf/mm}^2$ )		Yield strength ( $\text{kgf/mm}^2$ )		Elongation (%)			
	32.5		24		13.5			

### 2-3. 實驗方法

腐蝕環境槽은 플라스틱으로製作하였고, 腐蝕雰圍氣는 그比抵抗 $\rho = 25\Omega \cdot \text{cm}$ 인 天然海水를 사용하였으며, 實驗중의 腐蝕溶液은 실내溫度를 유지하였다.

또한 腐蝕環境槽 내의 腐蝕溶液은  $\text{Cl}^-$ 이온의濃度

및 電解液의 傳導度의 變化를 방지하기 위하여 時間當 4리터의 量으로 계속하여 순환시켰으며, 腐蝕生成物에 의한 電氣化學的인 影響을 제거하기 위하여 절연성 필터를 사용하였다.

應力腐蝕實驗은 天然海水 (比抵抗,  $\rho = 25 \Omega \cdot \text{cm}$ ) 中에서 航空用 7075 알루미늄合金材의 試驗片을 陽極으로 하고, 對極인 5086 알루미늄合金材를 陰極으로 配線한 後에 負荷되는 應力 및 試驗片의 面積(陽極面積)에 따른 實驗을 다음과 같이 行하였다.

1) 無負荷와 應力を  $\sigma = 20 \text{ kgf/mm}^2$ 으로 負荷했을 때에 腐蝕實驗은 試驗片의 面積(陽極面積)  $S_a = 7\text{mm}^2$ , 5086 알루미늄合金材의 面積(陰極面積)  $S_c = 15,000\text{mm}^2$ , 陽極과 陰極의 거리를  $\ell = 10\text{mm}$ , 印加電壓  $E_v = 12\text{V}$ 로 일정하게 行하였다.

2) 試驗片의 面積(陽極面積)을 7, 100 및  $2800\text{mm}^2$ 으로 變化시킴에 따른 應力腐蝕實驗은 5086 알루미늄合金材의 面積(陰極面積)  $S_c = 15,000\text{mm}^2$ , 印加電壓  $E_v = 12\text{V}$ 로 하고 陽極과 陰極間의 거리  $\ell = 10\text{mm}$ , 負荷되는 應力 $\sigma$ 을  $\sigma = 20 \text{ kgf/mm}^2$ 으로 일정하게 行하였다.

3) 외부 적용 印加電壓의 變化에 따른 應力腐蝕實驗은 試驗片의 面積(陽極面積)  $S_a = 7\text{mm}^2$ , 5086 알루미늄合金材의 面積(陰極面積)  $S_c = 15,000\text{mm}^2$ , 陽極과 陰極간의 거리  $\ell = 10\text{mm}$ , 初期應力を  $\sigma = 20 \text{ kgf/mm}^2$ 으로 일정히 負荷한 후 自然電位 그리고 印加電壓을 각각 7 및  $12\text{V}$ 로 變化시키면서 行하였다.

#### 4) 電流密度의 測定

陽極인 試驗片 (Al-7075)에서 陰極인 Al 5086으로 排流되는 腐蝕電流密度는 DC mili ampere meter로 測定하였다.

#### 5) 應力腐蝕實驗에 의한 材料의 環境強度評價

應力腐蝕에 의한 材料強度低下를 나타내는 應力腐蝕指數(stress corrosion index),  $(1-a)$ 는 Jones等<sup>13)</sup>이 제안한 다음式에 의해 구하였다.

$$(1 - \alpha) = (UTS_2 - 0.75PS) / (UTS_1 - 0.75PS) \dots\dots\dots(1)$$

(단, 應力腐蝕試驗 前의 應力腐蝕指數  $(1 - \alpha) = 1.0$ )

여기서,

$$\alpha = (UTS_1 - UTS_2) / (UTS_1 - 0.75PS) \dots\dots\dots(2)$$

$UTS_1$  : 試驗前의 最大引張強度

$UTS_2$  : 腐蝕試驗後의 試驗片 最大引張強度

$PS$  : 耐力(本 試驗片 [A7075]의 耐力은

$$\sigma = 26.6 \text{ kgf/mm}^2$$

그리고 應力腐蝕龜裂 發生樣相은 應力腐蝕試驗 後 顯微鏡에 의해 觀察, 調査하였다.

### 3. 結果 및 考察

#### 3-1. 腐蝕電流密度에 미치는 負荷應力의 影響

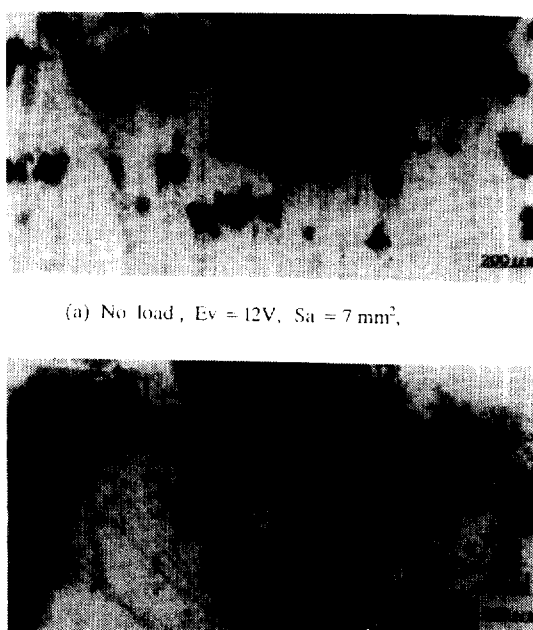
Fig. 3은 比抵抗  $\rho$  가  $25\Omega \cdot \text{cm}$ 인 天然海水中에서 試驗片의 面積(陽極面積)을  $S_a = 7 \text{ mm}^2$ , 外部適用 印加電壓을  $E_v = 12V$ 로 일정하게 陽極電流通電 후에 無負荷와 應力を  $20 \text{ kgf/mm}^2$ 로 負荷했을 경우에 있어서 試驗時間  $t$ 에 대한 基準電極에 의한 7075 알루미늄 合金材의 腐蝕電流密度(陽極電流密度)  $i$ 와의 關係를 정리하여 보인 것이다.

이에 의하면 應力を  $20 \text{ kgf/mm}^2$ 로 負荷했을 경우의 腐蝕電流密度가 無負荷에서 보다 全 試驗時間에 걸쳐 높게 排流되는 傾向을 보이고, 荷重을 負荷했을 初期에 腐蝕電流密度差가 크게 나타나지만 時間이 經過함에 따라서 그 差는 점차 작아지고 있음을 보이고 있다. 無負荷에서 보다 應力を  $20 \text{ kgf/mm}^2$ 으로 負荷했을 경우, 腐蝕電流密度가 높게 排流되는 이유는 試驗片의 노치先端에 應力集中으로 인해 不動態皮膜이 더 쉽게 破壞됨과 동시에 不動態皮膜의 형성이 어렵게 됨으로써 陽極電流密度가 더 높게 排流되는 것으로 料된다.<sup>14)</sup>

#### 3-2. 負荷應力에 따른 應力腐蝕龜裂 發生舉動

Photo. 1의 (a) 및 (b)는 適用時間, 試驗片의 面積 및 腐蝕環境을 Fig. 3과 같은 條件으로 유지하고, 無負荷에서와 應力を  $20 \text{ kgf/mm}^2$ 으로 負荷했을 경우에 있어서 7075 알루미늄 合金材의 應力腐蝕龜裂 發生舉動을 比較, 考察하고자 한다. 여기서 Photo. 1(a)는 應力を 負荷하지 않고, Photo. 1(b)는 應力を  $20 \text{ kgf/mm}^2$ 으로 負荷한 후에 本 試驗時間 동안 陽極電流通電下의 應力腐蝕試驗을 행한 노치先端의 巨觀的인 樣相을 보인 것이다.

이 結果에 의하면 Photo. 1(a)에서 應力を 負荷하지 않았을 때의 노치先端 주위에는 腐蝕에 의한 孔蝕(pit)現狀를 보이고, 노치先端의 좌측에 노치와 접하여 孔蝕이 심하게 生成되어 있음을 나타내고 있다. 그리고 Photo. 1(b)에서 應력을  $20 \text{ kgf/mm}^2$ 으로 負荷했을 때의 노치先端 주위는 腐蝕에 의한 孔蝕現狀가 나타나 있고, 應力腐蝕龜裂은 주로 slip面을 따라서 龜裂이 發生하여 成長되어 있으며<sup>15)</sup> 노치先端이 應力を 負荷하지 않았을 때 보다 더 많이 腐蝕되어 있음을 알 수 있다.



(a) No load,  $E_v = 12V$ ,  $S_a = 7 \text{ mm}^2$ ,

(b)  $\sigma = 20 \text{ kgf/mm}^2$ ,  $E_v = 12V$ ,  $S_a = 7 \text{ mm}^2$

Photo. 1 Macro-graph of SCC in seawater

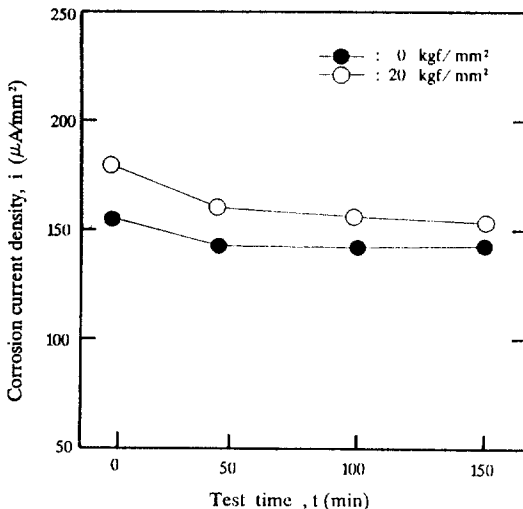


Fig. 3 Relation between corrosion current density and. test time under various stress  
( $\rho=25\Omega\cdot\text{cm}$ ,  $E_V=12\text{V}$ ,  $S_a=7\text{mm}^2$ )

따라서 Photo. 1(a)와 같이應力を負荷하지 않았을 때는 龜裂이 發生하지 않았지만, Photo. 1(b)에서應력을  $20\text{kgf/mm}^2$ 으로負荷했을 때는 無負荷에서 보다 노치先端의腐蝕이 더 심하고 龜裂이成長되어 있다는 것은應力이應力腐蝕龜裂의發生 및成長舉動에 미치는相昇效果가크다는것을 알수 있다.

### 3-3. 負荷應力에 따른材料의環境強度特性

Fig. 4는 Fig. 3과 같은試驗條件下에서無負荷와應力を  $\sigma=20\text{kgf/mm}^2$ 로負荷했을 경우腐蝕으로인한材料의 열화에 미치는應力腐蝕指數( $1-\alpha$ )를式(2)에 의해 계산하여 나타낸 것이다.

이結果에 의하면試驗片에引張荷重을負荷하지 아니한 순수한電氣化學的腐蝕의陽極溶解에 의한材料의環境強度低下인應力腐蝕指數( $1-\alpha$ )는 약 0.82로서材料의環境強度는 크게低下되지 않고 있으나試驗片에引張荷重을  $\sigma=20\text{kgf/mm}^2$ 로負荷했을 때의應力腐蝕에 의한材料의應力腐蝕指數( $1-\alpha$ )는 약 0.43으로서材料의環境強度는 크게낮아지고 있음을 알 수 있다. 따라서腐蝕環境中에서材料의

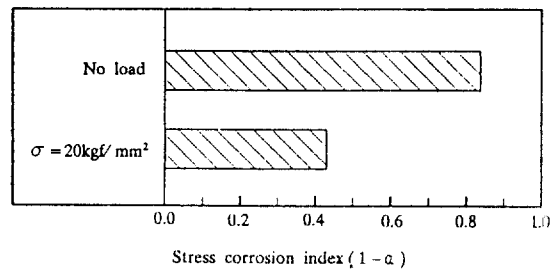


Fig. 4 Stress corrosion index( $1-\alpha$ ) of the specimens under No load and  $\sigma=20\text{kgf/mm}^2$  ( $\rho=25\Omega\cdot\text{cm}$ ,  $E_V=12\text{V}$ ,  $S_a=7\text{mm}^2$ )

環景強度低下에 미치는負荷應力의影響은電氣化學的의腐蝕에相昇作用을하는것으로생각된다.

### 3-4. 陽極面積의變化에 따른腐蝕電流密度의樣相

Fig. 5는比抵抗이  $25\Omega\cdot\text{cm}$ 인天然海水中에서外部適用印加電壓을  $E_V=12\text{V}$ 로陽極電流通電下에應力を  $20\text{kgf/mm}^2$ 로 일정하게負荷했을 경우,對極인陰極面積을 일정히하고試驗片의露出面積(陽極面積)을變化시킴에 따른試驗時間  $t$ 에대한 7075 알루미늄合金材의腐蝕電流密度(陽極電流密度)  $i$ 와의關係를보인것이다.

이에의하면試驗片의露出面積(陽極面積)이감소함에따라腐蝕電流密度  $i$ 는全試驗時間에걸쳐높게排流되는樣相을나타내고있으며試驗時間이경과함에따라腐蝕電流密度는점차낮아지는傾向을보이고있다. 그리고일정한陰極面積에대하여試驗片의面積(陽極面積)을감소시킴에따라腐蝕

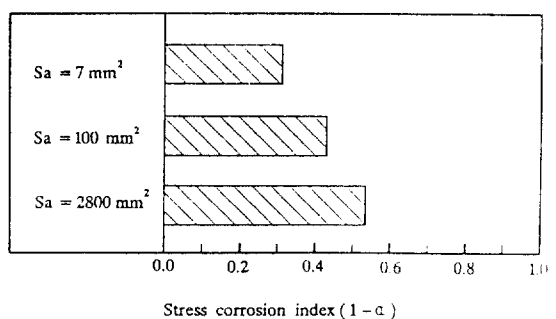


Fig. 5 Relation of corrosion current density vs. test time under various area of anode for Al 7075 ( $\rho=25\Omega\cdot\text{cm}$ ,  $E_V=12\text{V}$ ,  $\sigma=20\text{kgf/mm}^2$ )

電流密度가  $i$ 가 높게排流되는 이유는 일정한外部適用印加電壓과 일정한 陰極面積에 대해 陽極의 露出面積에서 일정한 腐蝕電流密度가排流되어야 하므로 陽極面積(試驗片의 露出面積) $i$  감소함에 따라腐蝕電流密度는 더 높게排流되어 지는 것으로 생각된다. 이와같이試驗片의 露出面積(陽極面積) $i$  감소함에 따라서 노치先端의腐蝕電流密度가 높게排流됨으로써 應力腐蝕龜裂의發生 및 龜裂의成長을빨라질것으로 생각된다.

### 3-5. 陽極面積의變化에 따른 應力腐蝕龜裂發生舉動

Photo. 1의 (b)와 Photo. 2의 (a) 및 (b)는外部適用印加電壓을  $E_v = 12V$ 로 일정하게通流하고, 負荷應力  $20kgf/mm^2$  및腐蝕環境을 Fig. 5와 같은試驗

條件으로 유지한 경우, 陽極面積(試驗片의 露出面積)의 크기를變化시키는 데에 따른 7075 알루미늄合金材의 應力腐蝕龜裂發生舉動을 비교·고찰하고자 한다. 여기서 Photo. 1 (b)는試驗片의 露出面積(陽極面積)을  $7mm^2$ , Photo. 2 (a)는試驗片의 露出面積을  $100mm^2$ , Photo. 2 (b)는試驗片의 露出面積을  $2800mm^2$ 으로 한 후, 本試驗時間동안 陽極電流通電下의 應力腐蝕試驗을 행한 노치先端의 巨視的의樣相을보인 것이다.

이들結果에 의하면 Photo. 1(b)는試驗片의 露出面積(陽極面積)을  $7mm^2$ 으로 했을 때의 노치先端에 심한腐蝕핏트가生成되어 있음은 물론이고, 3~4개의微細龜裂이發生되어成長이活性화된樣相을보이고 있다. 또 Photo. 2 (a)는試驗片의 露出面積을  $100mm^2$ 으로 했을 때의 노치先端은 본연구의 Photo 사진에는 분명치 않으나 실제試驗片의表面에는 1~2개의微細龜裂과 심한腐蝕으로노치幅이넓어지고,腐蝕핏트도生成되어 있었다. 그리고 Photo. 2(b)는試驗片의 露出面積(陽極面積)을  $2800mm^2$ 으로 했을 때의 노치先端과 주위에 심한腐蝕핏트現狀를보이고 있으나 실제試驗片表面에는龜裂의發生은 관찰되지 않았다.

이와같이陽極面積이감소할수록노치先端에더심한腐蝕과微細龜裂이發生하는이유는일정한陰極面積에대해서많은腐蝕電流density를排流해야하기때문이라思料되고, 應力腐蝕龜裂의發生및成長舉動에 미치는影響은負荷되는應力뿐만아니라陽極面積의크기에도影響이있음을알수있다.

### 3-6. 陽極面積變化에 따른材料의腐蝕環境強度特性

Fig. 6은Fig. 5와 같은試驗條件下에서試驗片의노치先端의 露出面積(陽極面積)의變化에대한應力腐蝕指數,  $(1-\alpha)$ 를 정리하여 나타낸 것이다.

이結果에 의하면陽極面積(試驗片 노치先端의



(a)  $\sigma = 20 kgf/mm^2$ ,  $E_v = 12V$ ,  $S_a = 100 mm^2$ ,



(b)  $\sigma = 20 kgf/mm^2$ ,  $E_v = 12V$ ,  $S_a = 2800 mm^2$ .

Fig. 6 Stress corrosion index( $1-\alpha$ ) of the specimens under various area of anode  
( $\rho = 25\Omega m$ ,  $E_v = 12V$ ,  $\sigma = 20 kgf/mm^2$ )

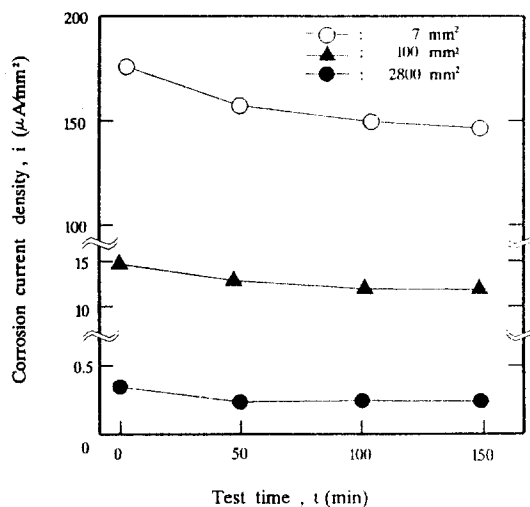


Photo. 2 Macro-graph of SCC in seawater

露出面積)  $S_a$  가 감소할 수록 應力腐蝕에 의한 材料의 應力腐蝕指數,  $(1-\alpha)$  는 낮아지는 傾向을 보여 주고 있다. 여기서 試驗片 노치 先端의 陽極面積이 감소함으로써 露出面積이 작은 部分으로 부터 腐蝕電流가 排流될 때 材料의 應力腐蝕指數는 급격히 低下되어 機械構造物이 破壞될 것으로 생각된다.

#### 4. 結論

天然海水中에서 航空用 7075 알루미늄合金材에 대한 印加電壓에 의한 陽極電流通電下의 應力腐蝕龜裂試驗을 行하여, 應力腐蝕龜裂 發生舉動에 미치는 負荷應力 및 陽極面積의 變化에 따라 電氣化學의 側面과 材料의 環境強度特性에 關한 研究를 한 結果 다음과 같은 結論을 얻었다.

- 1) 無負荷에서 보다 應力を 負荷했을 때의 腐蝕電流密度는 더 높게 되면서 孔蝕과 微細龜裂이 發生되었으나, 無負荷에서는 孔蝕만 發生되었다.
- 2) 試驗片의 露出面積(陽極面積)이 增加할수록 腐蝕電流密度는 減少하면서 應力腐蝕龜裂의 發生은 遲延되었다.

- 3) 應力腐蝕에 의한 材料의 應力腐蝕指數  $(1-\alpha)$  는 應力의 負荷 및 陽極面積의 減少함에 따라 작아진다.

#### 參 考 文 獻

- 1) 向井喜彦, 村田雅人, ステンレス鋼の應力腐蝕割れに對する 破壞力學について, 日本鎔接學會誌, Vol. 48, No. 11, p. 5 (1979)
- 2) 林祐助, 金屬構造物의 應力과 腐蝕, 韓國船用機關學會誌, Vol. 10, No. 1, p. 33 (1986)
- 3) 大谷南海男, き裂先端における應力と腐蝕の相互作用, 第23回 材料強度と破壊 國內シンポジウム論文集, 日本材料強度學會, 東京, pp.17 - 24(1983)
- 4) 水野政夫口章, 合金 溶接, 產業出版株式會社, 東京, p.99
- 5) Kent. R. Van Horn, Aluminium, ASTM, Metals Park, Ohio, p. 303 - 312 (1972)
- 6) 山本洋一, さびを防ぐ材料機器事典, 產調出版, 東京, p.11 - 12 (1978)
- 7) 山田盛雄, アルミニウム技術便覽, 輕金屬出版株式會社, 東京, p.1519 - 1521 (1985)
- 8) 山本洋一, 腐蝕と破壊, 日本機械學會編, 日本工業出版, p. 201 (1985)
- 9) 平野陽三, さびの發生原因と對策, 產調出版, p.17, 18 (1985)
- 10) R.W Staehle, Stress Corrosion Cracking and Hydrogen Embritlement of Iron Base Alloys, NACE, p.165 - 218(1973)
- 11) F. F. Booth and H. P. Godard, An Anodic Stress--Corrosion test for Aluminum - Magnesium Alloys, NACE, p. 703 - 711 (1962)
- 12) H.L. Craig, Stress Corrosion New Approaches, STP 610, p.32~37(1976)
- 13) 前掲書(11) p.125

- 14) 林祐助, 金永植, 스테인레스 鋼板의 應力腐蝕龜裂 전파기구에 관한 研究, 韓國船用機關學會誌, Vol. 9, No. 2, p. 156 (1984)
- 15) Z. A. Foroules, Environment - Sensitive Fracture of Engineering Metals, the Metallurgical Society of AIME, New York, p. 33 (1983)